Přílohy

Příloha ke kapitole 3.3.

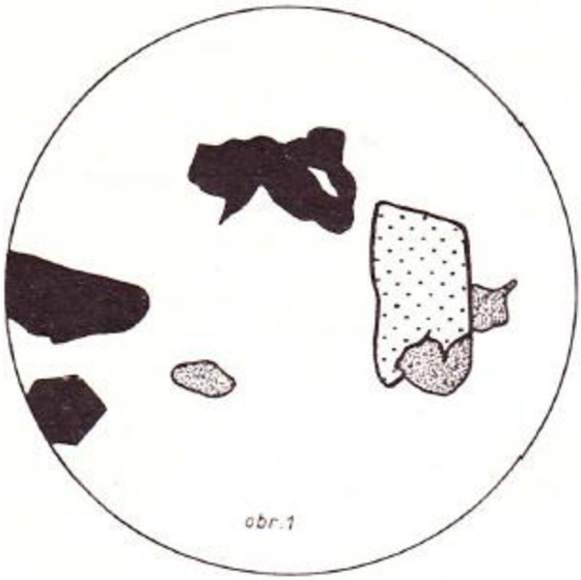

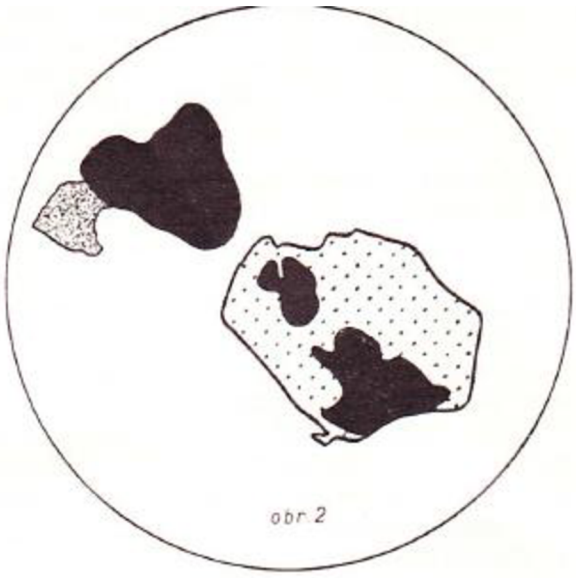

Obr. 4. (1) – Sfalerit (tečkovaný) koroduje kasiterit (šedý). Černě je označen křemen, bílé pole galenit (Němec, 1964). Zvětšeno 320 x.

Obr. 5. (2) – Nepravidelné srůsty kasiteritu a křemene. Značení je stejné jako u předchozího obrázku (Němec, 1964). Zvětšeno 320 x.

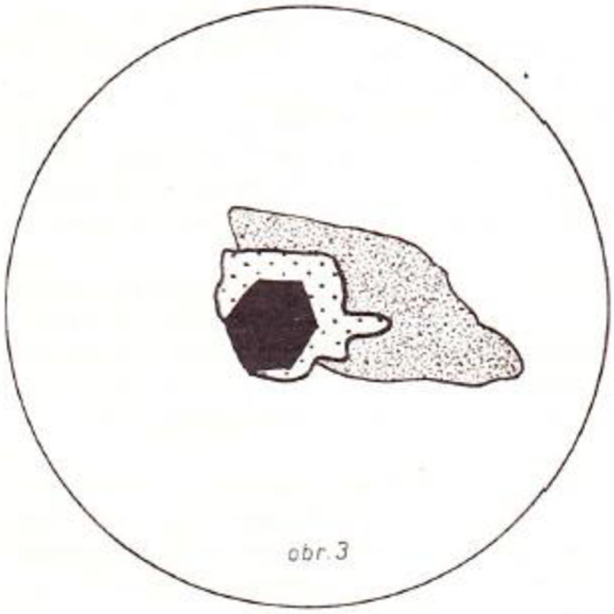

Obr. 6. (3) – Kasiterit uzavírá idiomorfní krystal křemene. Značení je stejné jako u obr. 6 a 7. Zvětšeno 320x.

Příloha ke kapitole 5.2.

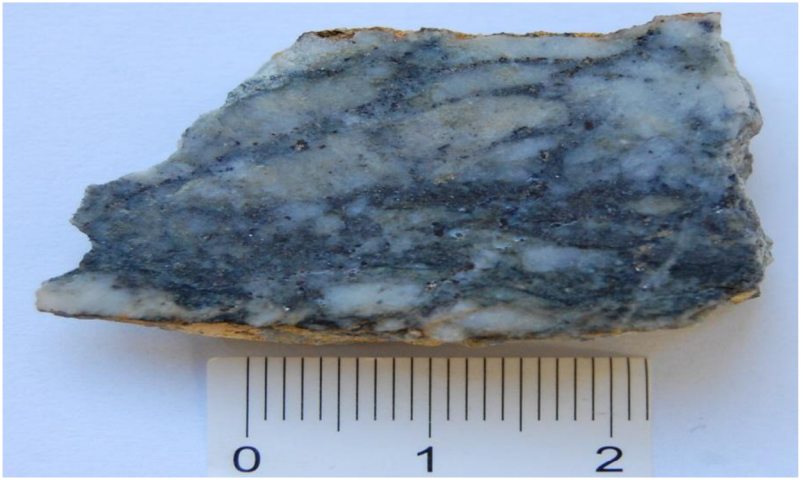

Obr. 12. Sulfidické zrudnění v podobě žilek v křemenu, tvořené především pyritem.

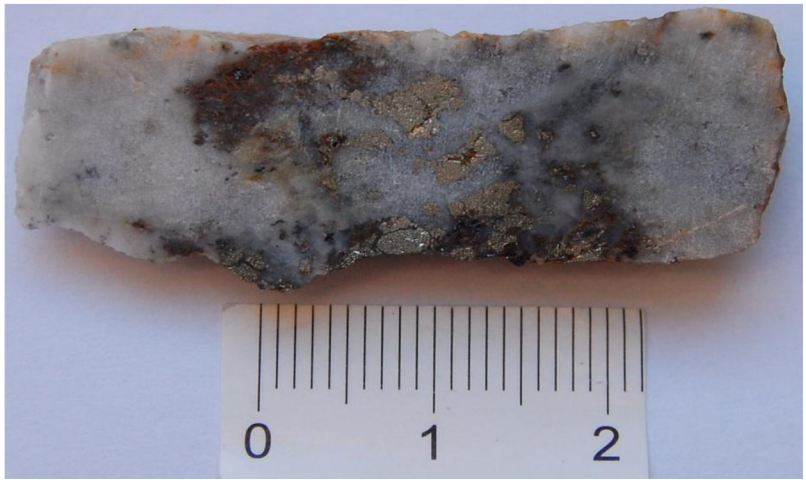

Obr. 13. Zrna pyritů v křemenné žilovině.

Obr. 14. Limonit vzniklý přeměnou sulfidů železa.

Obr. 15. Zrno galenitu se zřetelnou štěpností.

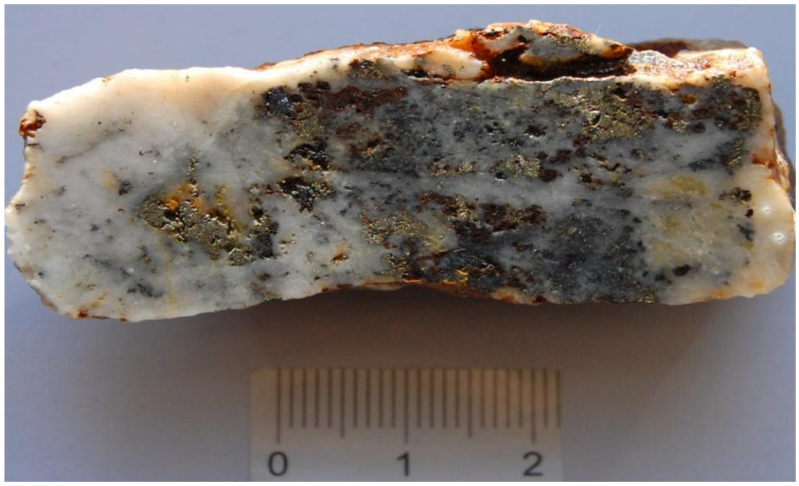

Obr. 16. Zrna chalkopyritu v křemenné žilovině společně s pyritem.

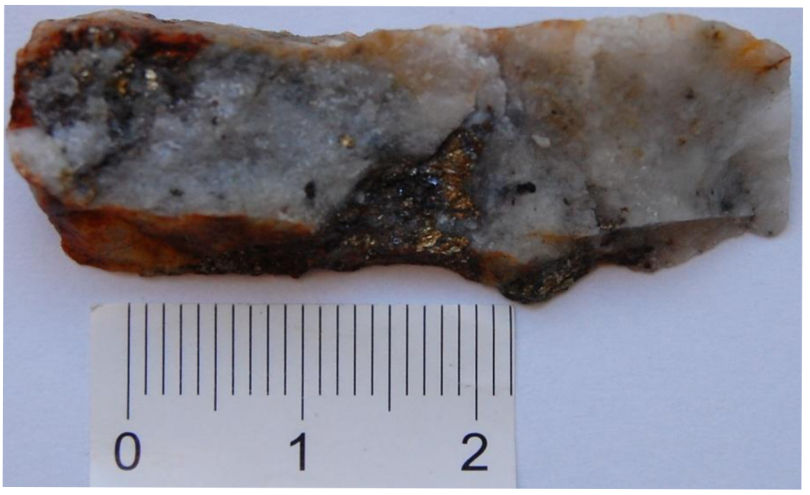

Obr. 17. Chalkopyrit se vzácně vyskytuje společně s covellínem.

Obr. 18. Tmavě šedý sfalerit v křemen–karbonátové žilovině společně s limonitem

Příloha ke kapitole 5.3.

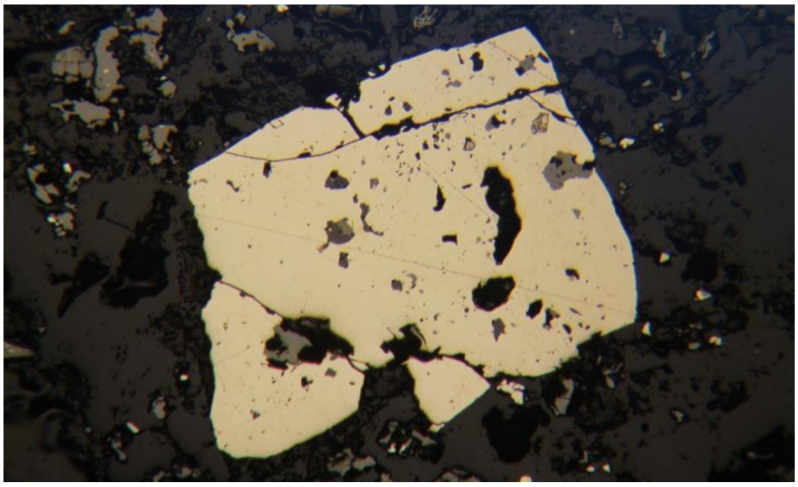

Obr. 19. Hypautomorfně omezené zrno pyritu s uzavřeninami sfaleritu a křemene. V okolí agregáty sfaleritu.

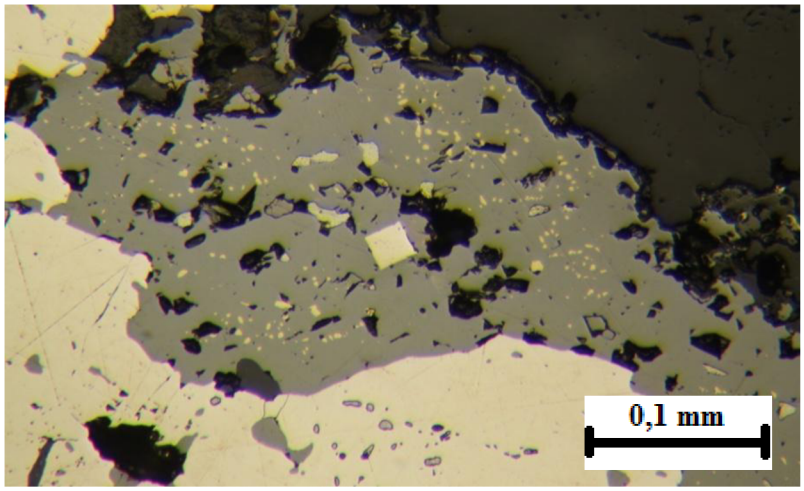

Obr. 20. Xenomorfně omezený agregát sfaleritu s uzavřeninami chalkopyritu hraničící s pyritem.

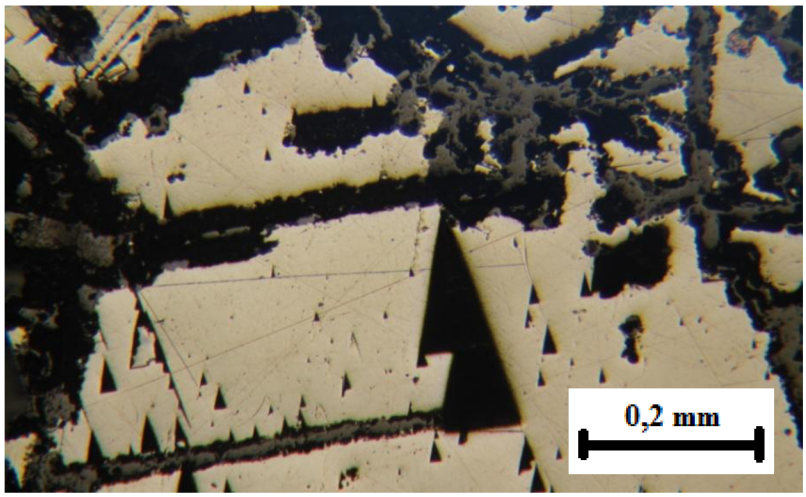

Obr. 21. Kataklazovaný galenit s postupující limonitizací po trhlinách.

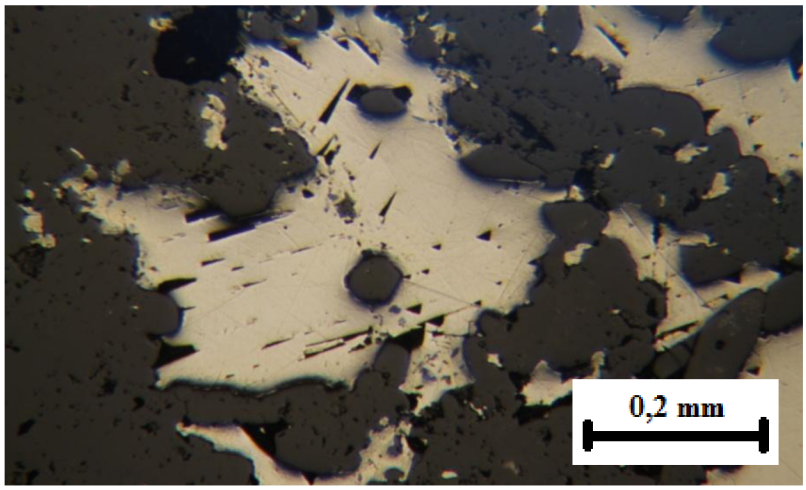

Obr. 22. Galenit s uzavřenými krystalky automorfního křemene a drobnými inkluzemi sfaleritu.

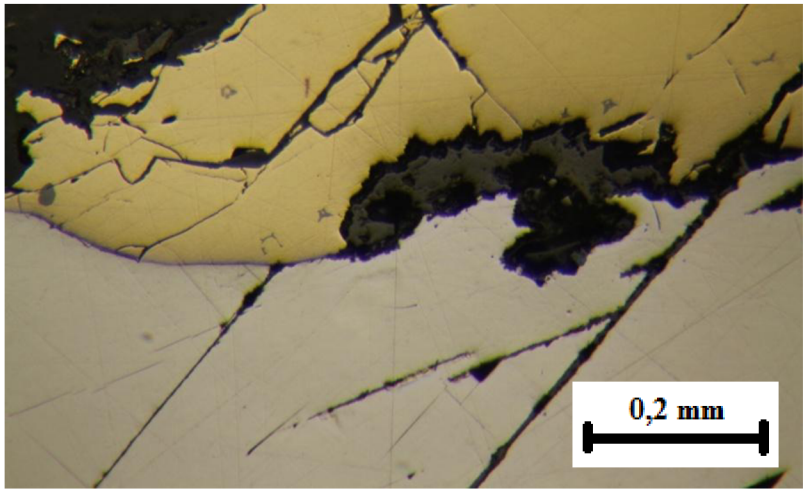

Obr. 23. Chalkopyrit s odmíšeninami sfaleritu v podobě hvězdiček, hraničící s bílým galenitem.

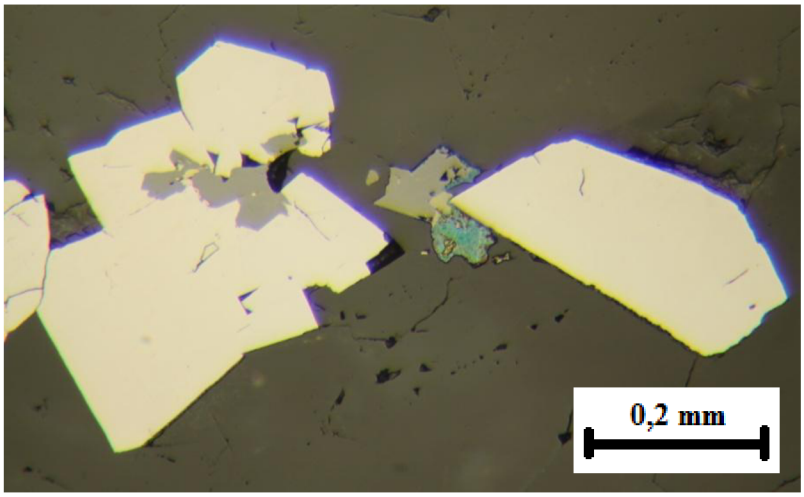

Obr. 24. Hypautomorfně omezená zrna arzenopyritu spolu se sfaleritem a covellínem.

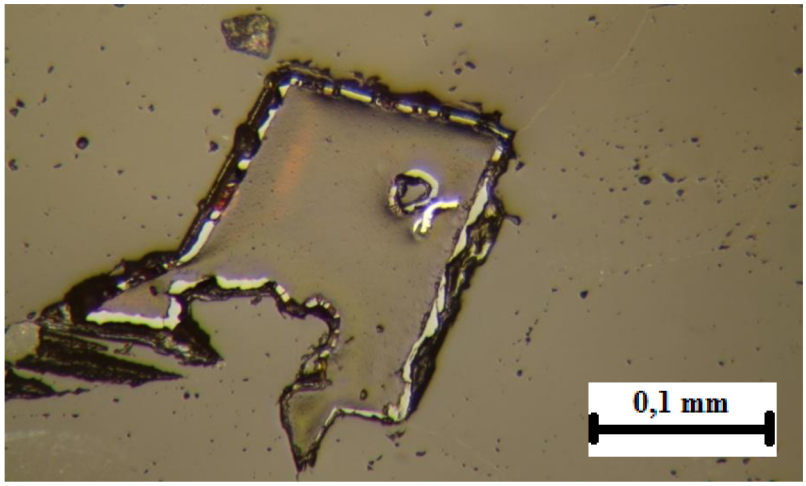

Obr. 25. Drátek ryzího Fe o velikosti 0,04 mm v epoxidu v dutině po vylouženém galenitu.

Příloha ke kapitole 5.4.

Postup přepočtu analýz sfaleritu 6/1 a 8/1. Ve sloupci č. 2 uvedena hm.% daných prvků, ve sloupci č. 3 uvedena atomová hm. prvků. Hodnoty uvedené ve sloupci č. 4 jsem dostal vydělením hm.% s atomovou hm. prvků. Hodnoty sloupce č. 5 jsem dostal vydělením všech prvků sírou.

1. analýza 6/1	2.	3.	4.	5.
Zn	57,995	65,390	0,887	0,854
Fe	7,937	55,847	0,142	0,137
Cd	0,395	112,411	0,004	0,004
Mn	0,202	54,938	0,004	0,004
Cu	0,124	63,546	0,002	0,002
S	33,300	32,066	1,038	1,000
S=1				

1. analýza 8/1	2.	3.	4.	5.
Zn	57,327	65,390	0,877	0,843
Fe	8,250	55,847	0,148	0,142
Mn	0,485	54,938	0,009	0,009
Cd	0,418	112,411	0,004	0,004
Cu	0,054	63,546	0,001	0,001
S	33,357	32,066	1,040	1,000
S=1				

Vypočítané analýzy pyritu, postup je stejný jako u předchozích, ale prvky dělím součtem síry a arsenu a následně násobím číslem 2.

1. analýza 1/1	2.	3.	4.	5.
Fe	46,809	55,847	0,838	1,015
Zn	0,034	65,390	0,001	0,001
As	0,165	74,922	0,002	0,002
S	52,871	32,066	1,649	1,998
S = (As + S)	2,000			
S=2				

1. analýza 2/1	2.	3.	4.	5.
Fe	46,590	55,847	0,8342	1,007
As	0,184	74,922	0,0020	0,002
S	53,020	32,066	1,6540	1,998
S= (As + S)	2,000			
S=2				

Vypočítané analýzy arzenopyritů, postup je podobný jako u přílohy přepočtu arzenopyritu, prvky jsou děleny součtem síry a arsenu, následně násobeny číslem 2.

1. analýza 11/1	2.	3.	4.	5.
Fe	34,732	55,847	0,622	0,986
Zn	0,098	65,390	0,001	0,002
Ag	0,081	107,868	0,001	0,002
As	43,152	74,922	0,576	0,913
S	22,006	32,066	0,686	1,087
∑AS + S=1,262				
S=2				

1. analýza 13/1	2.	3.	4.	5.
Fe	34,840	55,847	0,624	0,988
Zn	0,070	65,390	0,001	0,002
Mn	0,011	54,938	0,002	0,003
As	43,062	74,922	0,575	0,911
S	22,054	32,066	0,688	1,089
∑As + S=1,263				
S=2				

Vypočítané analýzy galenitu, postup stejný jako u přílohy přepočtu sfaleritu.

1. analýza 16/1	2.	3.	4.	5.
Pb	85,969	207,200	0,415	0,974
Ag	0,058	107,868	0,001	0,002
Ge	0,054	72,590	0,001	0,002
S	13,669	32,066	0,426	1,000
S=1				

1. analýza 17/1	2.	3.	4.	5.
Pb	86,616	207,200	0,418	0,981
Ge	0,061	72,590	0,001	0,002
S	13,662	32,066	0,426	1,000
S=1				